

## ژئوشیمی و سنگ شناسی تراکی آنالسیم دار منطقه ای اردها، شمال بزقوش، شمال غرب ایران

امین الله کمالی، علی عامری، هادی پیروج\*، احمد جهانگیری، بهروز محمود صالحی

گروه زمین شناسی، دانشکده علوم طبیعی، دانشگاه تبریز

(دریافت مقاله: ۸۹/۵/۶، نسخه نهایی: ۸۹/۷/۲۸)

چکیده: سنگ‌های آتشفشاری مورد بررسی در جنوب سراب، و در شمال کوه بزقوش واقع شده‌اند، که شامل روانه‌های آندزیت‌های پورفیری، گدازه‌های تراکی آندزیتی همراه با توف می‌شوند و در شمال منطقه با رسوب‌های جوان کواترنر پوشیده شده‌اند. این سنگ‌ها در ای درشت بلورهایی از آنالسیم، الیوین، پیروکسن و پلازیوکلازنده. بافت اصلی این سنگ‌ها، پورفیری با زمینه‌ی آینترستالت است. با توجه به آنالیزهای شیمیایی، سنگ‌های منطقه‌ی مورد بررسی، در گستره‌ی تراکی آندزیت و فنولیت تغیری قرار می‌گیرند. همچنین این سنگ‌ها دارای ماهیت پتاسیم قلیایی بالا تا شوشوئیتی با ویژگی‌های پرآلومینیوم هستند. بر اساس بررسی‌های انجام شده آنالسیم این سنگ‌ها اولیه بوده و به طور مستقیم از تبلور ماقما حاصل شده‌اند. سنگ‌های شمال غربی بزقوش به طور مشخصی، غنی شدگی از عناصر LILE (مثلث K, U, Tb, Ba, Rb) را نشان می‌دهند. غنی شدگی عنصر ناسازگار K و Rb و بیهنجاری منفی Ti و Nb در این سنگ‌ها بیشتر با گدازه‌های حاصل از پوسته‌ی زبرین سازگار است. نمودارهای عنکبوتی و الگوی عناصر REE نشان می‌دهد که سنگ‌های این منطقه از یک خاستگاه یکسان به وجود آمده‌اند. غنی شدگی این عناصر می‌تواند به دگرنهادی گوشه‌ی آلایش پوسته‌ی قاره‌ای وابسته باشد. با این وجود بی‌هنجری منفی (TNT, Ta, Nb, Tb) و نیز با در نظر گرفتن احتمالی فرورانش نئوتیس در منطقه، به احتمال زیاد غنی شدگی عناصر ناسازگار می‌تواند نتیجه‌ی تاثیر فرورانش بر منابع گوشه‌ای باشد. بر اساس بررسی عناصر REE، ماقماهای مادر سنگ‌های مورد بررسی احتمالاً از یک خاستگاه گارنت لرزولیتی فلوجوپیت‌دار با درجه‌ی ذوب‌بخشی کم ۴ تا ۶ درصد، تحت فشار ۳۰ تا ۳۵ کیلوبار و در عمق ۹۰ تا ۱۰۰ کیلومتری ریشه گرفته است.

واژه‌های کلیدی: بزقوش؛ تراکی آندزیت؛ آنالسیم؛ شوشوئیتی؛ گارنت لرزولیت.

### مقدمه

اقیانوسی [۱,۲]. (۲) ذوب بخشی لیتوسفر غنی شده زیر قاره‌ای [۳,۴]. (۳) آلدگی گستره‌ی پوسته‌ای از ماقماهای شبه مورب [۵]. تولید گدازه‌های از نوع درون صفحه‌ای در محیط‌های قاره‌ای، که معمولاً به بالا آمدگی مواد گوشه‌ای زیر قاره‌ای وابسته است [۶-۸]. هر چند فرایندهای مسئول بالا آمدگی و

سنگ‌های ماقمایی نوع درون صفحه‌ای و وابسته به فرورانش باهم در تعدادی از زون‌های برخوردي یافته می‌شوند. تشکیل ماقما با ویژگی‌های ژئوشیمیایی وابسته به فرورانش می‌تواند نتیجه‌ی یکی از فرایندهای زیر باشد: (۱) فرورانش لیتوسفر

منطقه در حوضه‌ی بزرگ نهوزن تبریز- سراب در شمال غربی رشته‌کوه برقوش در جنوب روستاهای اردها تا صومعه قرار دارد. روانه‌های آندزیت بازالی و تراکی آندزیتی پورفیری درشت دانه همراه با توفهای ماسه‌ای به گونه‌ای همساز کنار هم قرار گرفته‌اند، و با رسوب‌های جوان کواترنر پوشیده شده‌اند. در این منطقه تنابی از گدازه‌های پورفیری و گدازه‌های سرخ رنگ با بافت شیشه‌ای وجود دارند. ساخت حفره‌ای (pit structure) در سنگ‌های آتشفسانی پورفیری منطقه دیده می‌شوند که بنظر می‌رسد ناشی از تجزیه و از بین رفتن فنوکریست‌های سنگ‌های منطقه باشد. این سنگ‌های آتشفسانی حالت لایه-لایه‌ای دارند و در بعضی از مناطق برش‌های آتشفسانی بین آن‌ها دیده می‌شوند. کانی‌های زئولیت و کلیست بیشتر حفره‌های سنگ‌های منطقه را پر می‌کنند. زمین‌ساختی فعال منطقه، وجود درزها و شکستگی‌های فراوان، کانی‌زایی‌های مس در بعضی از نقاط منطقه به صورت آزوریت و مالاکیت که معمولاً در راستای گسل‌ها صورت گرفته‌اند و در نهایت وجود چشممه‌های آبگرم فراوان در منطقه شواهدی دال بر حاکم بودن سیستم زمین گرمایی (گرمایی) در منطقه است.

### سنگ شناسی

تراکی آندزیت‌های آنالسیم‌دار و فنولیت‌های تفریتی از سنگ‌های مهم منطقه‌اند. در مقاطع میکروسکوپی بافت اصلی این سنگ‌ها پورفیری حفره‌دار است. درشت بلورهایی که در این سنگ‌ها مشاهده می‌شوند شامل پلازیوکلاز، آنالسیم، پیروکسن و سانیدین‌اند. آنالسیم تنها فلدسپات‌وئید موجود است که اندازه‌ی آن از بلورهای بسیار ریز موجود در زمینه‌ی سنگ تا درشت بلورهای خودشکل متغیر است (شکل ۲ الف). روی آنالسیم، زئولیت به صورت دندانه‌ی رشد کرده است. در داخل برخی از این فنوکریست‌های آنالسیم، درونگیرهایی از بلورهای پلازیوکلاز، کلینوپیروکسن و کانی‌های کدر دیده می‌شوند که بافت پوئی‌کلیتیک را به وجود آورده‌اند. میزان آنالسیم در بعضی از نمونه‌ها تا ۲۰ درصد حجم سنگ نیز می‌رسد. پلازیوکلاز به صورت میکرولیت‌های موجود در زمینه تا درشت بلورهای شکل‌دار دیده می‌شوند و بیشتر منطقه‌بندی نوسانی و خاموشی موجی نشان می‌دهند. بعضی از پلازیوکلازها تازه و بدون تجزیه‌شدنگی و بعضی دارای بافت غربالی‌اند (شکل ۲ ب).

تولید گدازه از مناطق آتشفسانی، با گوناگونی ژئوشیمیایی انواع سنگ‌ها از قبیل سنگ‌های ماقمایی نوع درون صفحه‌ای و وابسته به فرورانش خیلی کم شناخته شده‌اند [۹]. تشکیل سنگ‌های کمان‌های آتشفسانی بیشتر به ماقمای مادر تولید شده از ذوب بخشی گوهی گوشه‌ی زیر کمان نسبت داده می‌شود و با تهی شدنگی عناصر با شدت میدان بالا HFSE (مانند Nb, Ti کمیاب خاکی سبک مشخص می‌شوند. فعالیت‌های ماقمایی در تمام دوره‌ها در صفحات ایران وجود داشته‌اند. قبل از ائوسن فعالیت‌های آتشفسانی کم بود، و بیشترین فعالیت در زمان ائوسن بوده است. ترکیب‌های زیادی از بازنیت‌ها تا فنولیت‌ها از ناحیه‌ی آذربایجان در شمال‌غرب ایران توسط [۱۰-۱۳] گزارش شده است. هدف از این پژوهش بررسی و تفسیر سازوکار تشکیل سنگ‌های شمال برقوش و ارائه جایگاه تکتونیکی این سنگ‌ها با استفاده از شواهد سنگ‌شناسی و ژئوشیمیایی عناصر اصلی و کمیاب است.

### مواد و روش‌ها

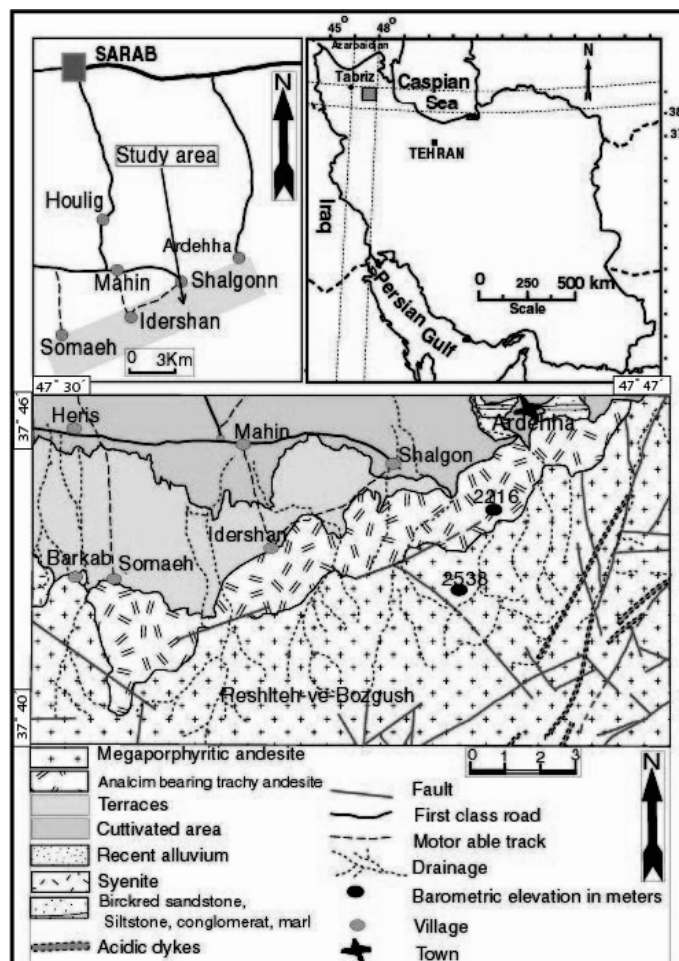
بررسی‌های صحرایی این پژوهش شامل بررسی سنگ‌شناسی صحرایی، آثار گسلی، لیتلولوژی‌های موجود در منطقه و سنگ‌شناسی در مقیاس نمونه‌ی دستی است. از نمونه‌های برداشت شده در منطقه، ۴۵ مقطع میکروسکوپی در آزمایشگاه سنگ‌شناسی دانشگاه تبریز، با ضخامت ۲۵-۳۰ میکرومتر تهیه شدند و بررسی جامع این نمونه‌ها در بزرگنمایی‌های متفاوت انجام شد. حاصل این بررسی‌ها تهیی بیش از ۱۵۰ تصویر بود که تعدادی از این تصاویر در این پژوهش به کار گرفته شدند. ویژگی‌های کانی‌شناسی، نوری و انواع بافت‌های سنگ‌ها با میکروسکوپ نوری مشخص شدند. سپس ۹ نمونه‌ی سنگی سالم و تازه از نمونه‌های سنگی برای آنالیز عناصر اصلی آن‌ها در آزمایشگاه شرکت ALS - Chemex کانادا بر اساس روش ICP- ME 06 و با دقت برابر ۰/۰۱ درصد وزنی و عناصر کمیاب و نادر خاکی نیز در همین شرکت بر اساس روش ME MS81 و با دقت برابر ۰/۰۱ ppm انجام گرفت.

### مجموعه‌ی زمین شناسی

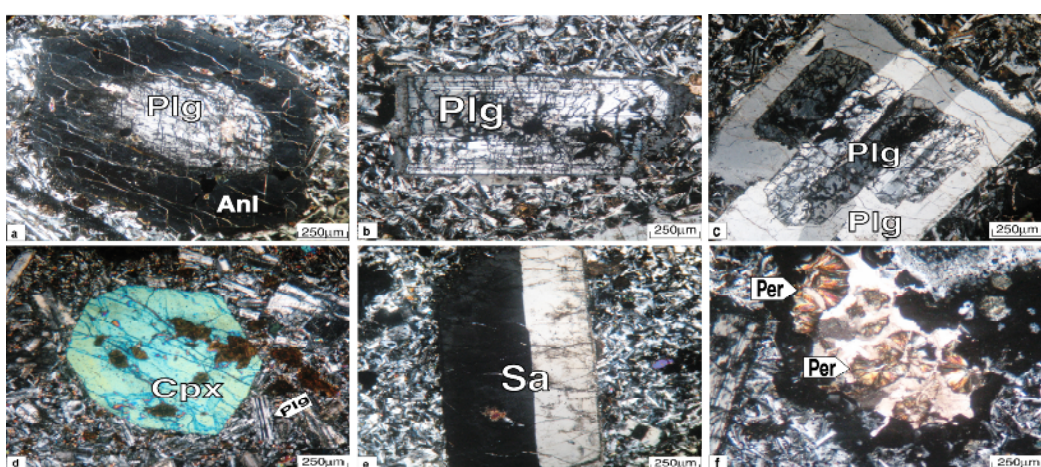
سنگ‌های آتشفسانی مورد بررسی بین طول‌های جغرافیایی ۳۵° و ۴۷° و ۳۰° و ۴۷° شرقی و عرض‌های ۴۰° و ۴۶° و ۳۷° و ۴۰° شمالی واقع شده‌اند (شکل ۱). این

تجزیه شده است. در مراکز تجزیه شده، پلازیوکلازهای جدید رشد کرده‌اند که قادر هر نوع تجزیه شدگی هستند (شکل ۲ پ). در پلازیوکلازهای نسل دوم آپاتیت سوزنی فراوان است.

پلازیوکلاز این سنگ‌ها حدود ۶۵ درصد از فنوکریست‌ها و زمینه را شامل می‌شود. در اکثر مقاطع مرکز فنوکریست‌های پلازیوکلاز به مقدار بسیار زیاد به کانی‌های رسی (کانولینیت)



شکل ۱ موقعیت گستره‌ی مورد بررسی، راه‌های دسترسی به منطقه و نقشه‌ی زمین‌شناسی و لیتولوژی‌های اصلی موجود در منطقه.



شکل ۲ الف و ب فنوکریست خود شکل آنالسیم و در داخل آن فنوکریست پلازیوکلاز-پ- پلازیوکلاز دارای بافت غربالی در داخل فنوکریست پلازیوکلاز بدون تجزیه شدگی ت- فنوکریست‌های خود شکل کلینوپیروکسن-ث- درشت بلورهای سانیدین-ح- پر شدن حفره‌ها با پرھنیت.

منیزیم بالا (بیش از ۰/۷)، Ni بالا (بیش از ۱۴۰۰ ppm)، Cr بالا (بیش از ۱۵۰۰ ppm) و مقدار  $\text{SiO}_2$  کمتر از ۵۰ درصد باشند. با این حال اگر مagmaهای بازی به جای مشتق شدن از یک گوشه‌ی عادی از مناطقی با خاستگاه دگرنهادی مشتق شده باشد، این معیارها دیگر کاربردی نخواهد داشت [۲۲]. همچنین به تناسب افزایش شکل‌گیری magmaهای از میزان  $\text{Mg}^{\#}$  آنها کاسته می‌شود. در سنگ‌های مورد بررسی مقدار  $\text{SiO}_2$  ۵۴/۴ درصد است. همچنین  $\text{Mg}^{\#}$  پائین و کمتر از ۰/۴ است، مقدار Ni و Cr نیز به ترتیب کمتر از ۵ ppm و ۷۸ است. پس می‌توان نتیجه گرفت که magmaهای سازنده‌ی سنگ‌های مورد بررسی جزو magmaهای اولیه و در تعادل با گوشه‌ی فوقانی قرار نمی‌گیرد و بنابراین یا پس از تشکیل در گوشه‌ی عادی دستخوش شکل‌گیری magmaهای شده و یا از magmaهای هستند که از گوشه‌ی دگرنهادی مشتق شده‌اند. از نمودار Ta/Yb/Nb نسبت به Ta/Yb [۲۳] می‌توان به محیط زمین ساختی حاکم در منطقه پی‌برد. در این نمودار خطوط منقطع، گستره‌ی سنگ‌های شوشوونیتی، آهکی-قلیابی و تولئیتی را از هم جدا می‌کنند. قلمرو سنگ‌های جزایر قوسی و حاشیه‌ی فعال قاره‌ای (ACM) روی نمودار مشخص شده است. نوار باریک گستره‌ی ترکیب‌های مختلف گوشه‌های را نشان می‌دهد. نمونه‌های مورد نظر در گستره‌ی سنگ‌های شوشوونیتی حاشیه‌ی فعال قاره‌ای و قوس‌های آتشفشاری قرار می‌گیرند. نحوه قرارگیری سنگ‌های مورد بررسی در این نمودار خطی و به موازات روند غنی‌شدن گذاره‌های مناطق فرورانش است (شکل ۵). [۲۴] نشان دادند که برای تعیین موقعیت ژئودینامیکی سنگ‌های مافیک، التراپاتیسی و شوشوونیتی می‌توان از نمودار Nb/Zr نسبت به Zr [۲۵] استفاده کرد. در این نمودار (شکل ۶) گستره‌های فرورانش و کافتی از یکدیگر جدا شده‌اند سنگ‌های آتشفشاری منطقه‌ی شمالغرب بزقوش در گستره‌ی کمان‌های magmaهای ناشی از فرورانش قرار می‌گیرند. کمان‌های (جزایر) اقیانوسی که در اثر فرورانش یک صفحه‌ی اقیانوسی به زیر صفحه‌ی دیگر مشخص می‌شوند، معمولاً دارای تمرکز پایین هستند (شکل ۳). با توجه به نسبت بالای Ce/Yb و نیز Ta/Yb این سنگ‌ها، در گستره‌ی شوشوونیتی قرار می‌گیرند (شکل ۴). به طور کلی magmaهای اولیه که در تعادل با کانی‌شناسی شاخص گوشه‌ی فوقانی (الیوین + ارتوبیروکسن + گارنت + اسپینل) قرار دارند، باید دارای مقادیر Mg# یا عدد

کلینوپیروکسن‌ها دارای ترکیب اوژیت‌اند و حدود ۱۰ درصد حجم سنگ‌ها را تشکیل می‌دهند. اندازه‌ی فنوکریسته‌های شکل‌دار آن به ۵ میلیمتر نیز می‌رسد (شکل ۲). در برخی از مقاطع، بلورهای آنالسیم پیرامون پلازیوکلازهای تجزیه شده را پوشانده‌اند (شکل ۲ الف). در بعضی از نمونه‌ها درشت بلورهای سانیدین نیز دیده می‌شوند (شکل ۲ ث). از کانی‌های فرعی می‌توان به کانی‌های کدر، بیوتیت و آپاتیت اشاره کرد. حفره‌های این سنگ که در نتیجه خروج گاز و مواد فرار ایجاد شده‌اند به صورت‌های گوناگون وجود دارند. تعدادی از آن‌ها پر نشده‌اند و تعدادی با کلسیت، کلریت و پرهیبت پر شده‌اند و بافت بادامی را به وجود گرفته‌اند (شکل ۲ ج). در مورد خاستگاه آنالسیم دو فرضیه اصلی وجود دارند: یکی خاستگاه اولیه آنالسیم و دیگری شبه‌ی ریخت جانشینی از لوسویت [۱۵-۱۷] است. در سنگ‌های مورد بررسی به احتمال زیاد فنوکریسته‌های آنالسیم به دلایل زیر اولیه و ناشی از تبلور مستقیم باید magma باشند: ۱- این آنالسیم‌ها شکل دارند. فرضیه دوم تبدیل لوسویت به آنالسیم با ۱۰ درصد افزایش حجم، و این سبب می‌شود تا در اطراف آنالسیم‌های شانویه ترکهایی دیده شوند [۱۵] که این ترک‌ها در پیرامون آنالسیم‌های موجود در سنگ‌های مورد بررسی دیده نمی‌شوند. ۳- بنا بر اعتقاد [۱۸، ۱۹] تبدیل لوسویت به آنالسیم با غنی‌شدگی انتخابی Cs (گاهی تا بیش از ۹۰۰ ppm) همراه است. در حالی که غلظت Cs در سنگ‌های مورد بررسی به طور متوسط ۵/۸ ppm است.

### ژئوشیمی

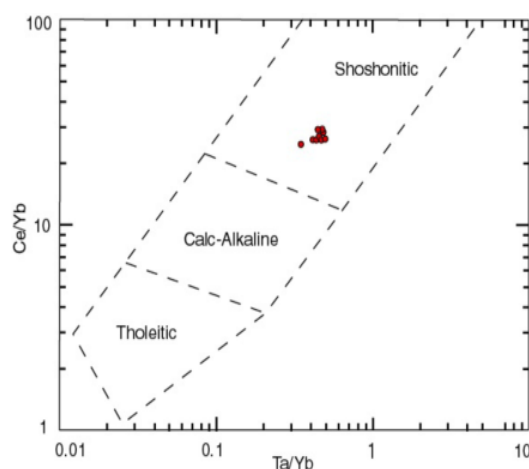
نتایج آنالیز شیمیایی نمونه سنگ‌های منطقه در جدول (۱) ارائه شده‌اند. میزان  $\text{SiO}_2$  در سنگ‌های آتشفشاری شمالغرب بزقوش نسبتاً یکنواخت بوده و در حد بین ۵۳-۵۶ (wt%) است. در این سنگ‌ها میزان قلیابی‌ها بالاست ( $>9\% \text{wt}$ ). برای رده‌بندی سنگ‌ها از نمودار [۲۰] استفاده شد و نمونه‌های آنالیز شده در گستره‌ی تراکی آندزیت و فنولیت تفریتی قرار گرفتند (شکل ۳). با توجه به نسبت بالای Ce/Yb و نیز Ta/Yb این سنگ‌ها، در گستره‌ی شوشوونیتی قرار می‌گیرند (شکل ۴). به طور کلی magmaهای اولیه که در تعادل با کانی‌شناسی شاخص گوشه‌ی فوقانی (الیوین + ارتوبیروکسن + گارنت + اسپینل) قرار دارند، باید دارای مقادیر Mg# یا عدد

با  $Zr \times 3 - Nb \times 50 - Ce/P_2O_5$  می‌توان استفاده کرد. با توجه به این نمودار نمونه‌های آمالیز شده در گستره‌ی کمان‌های پس از برخورد قرار می‌گیرند (شکل ۷). برای جدا کردن سنگ‌های کمان‌های قاره‌ای از کمان‌های پس از برخورد از نمودار سه تایی

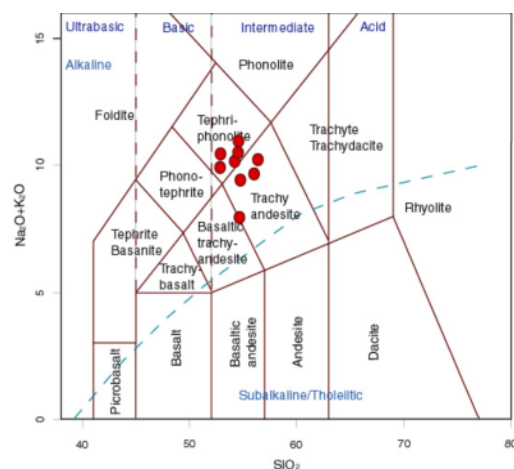
منطقه در گستره‌ی کمان‌های قاره‌ای و کمان‌های پس از برخورد قرار می‌گیرند (شکل ۷). برای جدا کردن سنگ‌های کمان‌های قاره‌ای از کمان‌های پس از برخورد از نمودار سه تایی

جدول ۱ نتایج تجزیه شیمیایی سنگ‌های منطقه‌ی مورد بررسی به روش ICP-MS

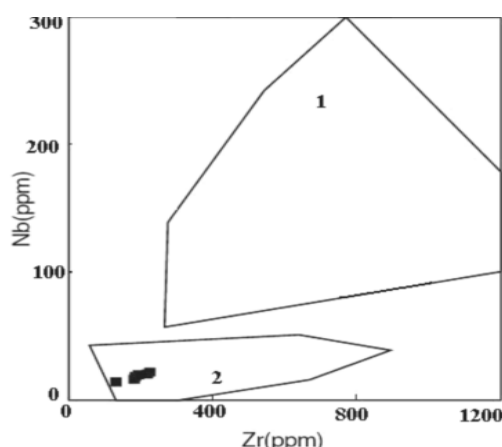
Sample	BAM2	BAM3	BAM7	BAM8	BM8	BM11	BM12	BM14	SO7
SiO <sub>2</sub> (%wt)	54.4	52.6	54.4	54.4	54.1	53	56.2	55.7	54.6
Al <sub>2</sub> O <sub>3</sub>	19.3	18.6	19.5	18.6	18.7	17.8	17.7	18.9	18.1
Fe <sub>2</sub> O <sub>3</sub>	5.49	5.86	5.16	5.38	5.12	6.23	5.08	5.15	6.27
CaO	2.89	3.34	4.23	3.49	3.17	3.67	2.65	4.11	4.91
MgO	1.92	2.57	1.62	1.66	1.77	2.23	2.26	1.77	2.79
Na <sub>2</sub> O	5.52	5.39	4.71	5.23	4.41	4.92	4.22	5.5	3.56
K <sub>2</sub> O	4.83	4.68	5.9	5.82	5.08	5.65	5.99	4.39	4.49
Ti <sub>2</sub> O	0.77	0.8	0.75	0.8	0.78	0.93	0.78	0.7	0.77
MnO	0.13	0.07	0.11	0.1	0.05	0.17	0.14	0.11	0.15
P <sub>2</sub> O <sub>5</sub>	0.55	0.51	0.48	0.49	0.39	0.65	0.42	0.43	0.4
SrO	0.11	0.08	0.12	0.08	0.07	0.09	0.07	0.1	0.06
BaO	0.12	0.11	0.12	0.12	0.11	0.14	0.12	0.12	0.11
Lol	2.77	4.05	2.61	2.7	3.51	2.57	2.81	2.68	4.88
Total	99.9	98.7	99.7	98.9	98	98.1	98.5	99.6	99.1
Ba (ppm)	1040	939	986	949	890	1150	1035	991	605
Ce	67.5	63.8	66.9	69.3	68.2	70.2	72.3	64.5	50.6
Co	18	16.4	19	15.9	14.3	18.5	11.7	16.6	18.6
Cr	10.0	1.0	10.0	10.0	1.0	1.0	10.0	10.0	2.0
Cs	6.77	18.8	5.06	19.9	3.6	6.52	5.62	5.76	1.35
Cu	13.8	13.1	7.9	12.4	1.02	17.9	12.8	11.6	23.3
Dy	4.42	4.09	4.25	4.51	4.42	4.91	4.24	3.83	2.73
Er	2.47	2.41	2.49	2.63	2.61	2.86	2.57	2.32	2.11
Eu	1.49	1.41	1.03	1.45	1.04	1.69	1.34	1.45	1.23
Ga	19.5	19.2	20.3	19.2	19.1	18.4	18.1	19.2	16
Gd	5.57	5.31	5.45	5.77	5.57	6.23	5.47	5.07	4.5
Hf	4.6	4.4	4.5	5.2	5	4.9	5.6	4.7	2.3
Ho	0.84	0.82	0.85	0.88	0.89	0.99	0.85	0.74	0.61
La	36.6	34.6	26.5	37.3	26.9	37.7	39.4	34.8	26.9
Lu	0.39	0.37	0.39	0.4	0.39	0.44	0.39	0.35	0.23
Mo	2	2	2	3	2	3	3	2	2>
Nb	16.8	15.3	16.6	18.6	17.3	16.9	19.9	16.2	12.4
Nd	30.5	28.9	30.2	31.1	30.5	32.5	31.7	27.4	22.5
Ni	6	6	5>	5>	5>	9	5>	5>	5
Pb	25	23	31	22	23	36	26	25	11
Pr	8.09	7.73	8.12	8.21	8.19	8.54	8.49	7.3	5.9
Rb	65.3	10.9	17.1	10.2	8.0	88.7	15.8	86.2	13.3
Sm	5.68	5.53	5.72	6	5.81	6.37	6.12	5.25	4.93
Sr	83.3	61.7	9.6	62.0	52.6	69.7	55.9	81.2	55.3
Ta	1.1	1	1.1	1.2	1.1	1	1.2	1	0.7
Tb	0.74	0.68	0.71	0.76	0.72	0.83	0.74	0.66	0.66
Th	9.71	9.52	10.1	10.7	10.2	9.8	11.3	9.79	6.59
U	3.31	3.03	3.37	3.51	2.99	3.44	3.11	2.83	2.09
V	11.8	13.3	10.6	10.7	11.8	14.4	9.3	10.9	13.7
W	8.2	7.3	8.9	8.7	5.2	6.9	4.3	6.3	4.4
Y	22.2	21.4	22.4	22.9	22.2	24.8	23.7	20.9	19.7
Yb	2.43	2.42	2.5	2.59	2.61	2.84	2.84	2.25	2.03
Zn	7.7	7.3	7.8	7.6	7.0	8.7	8.6	7.8	8.9
Zr	18.7	18.2	19.2	21.7	20.8	20.3	22.2	18.5	13.1
Mg#	0.26	0.3	0.24	0.24	0.26	0.26	0.2	0.26	0.31



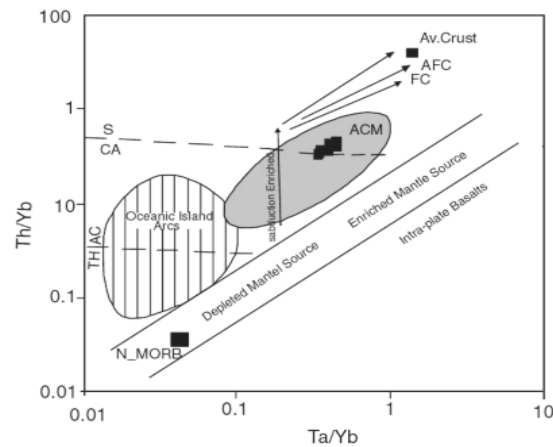
شکل ۴ تعیین سری ماقمایی با استفاده از عناصر کمیاب  $Ta/Yb$  استفاده از  $[21]Ce/Yb$  نسبت به [۲۰].



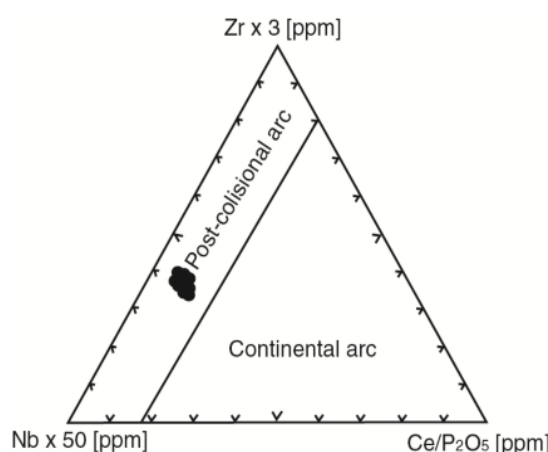
شکل ۳ رده بندی سنگ‌های آتشفشاری شمال غرب بزقوش با مجموع مواد قلیایی نسبت به سیلیس [۲۰].



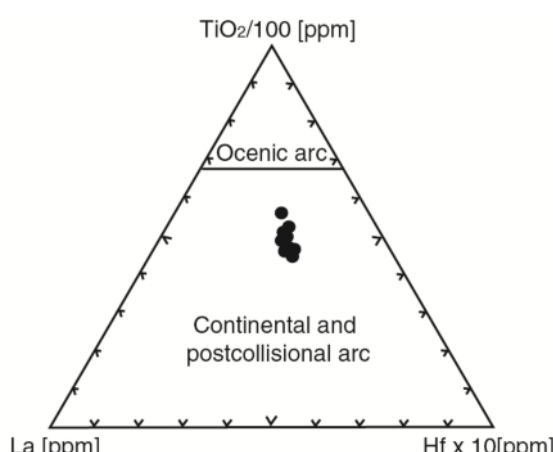
شکل ۶ نمودار  $Nb/Zr$  نسبت به  $Nb$  به منظور تعیین محیط زمین ساختی [۲۵].



شکل ۵ نمودار  $Th/Yb$  نسبت به  $Ta/Yb$ .

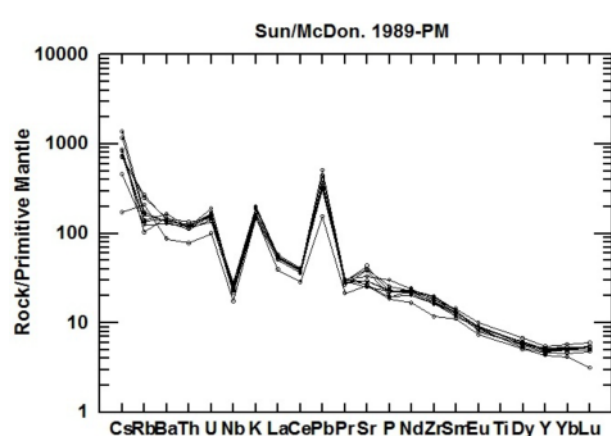


شکل ۸ نمودار سه تایی  $Zr \times 3 - Nb \times 50 - Ce/P_2O_5$  برای جدا کردن کمان‌های قاره‌ای از کمان‌های پس از برخورد [۲۶].



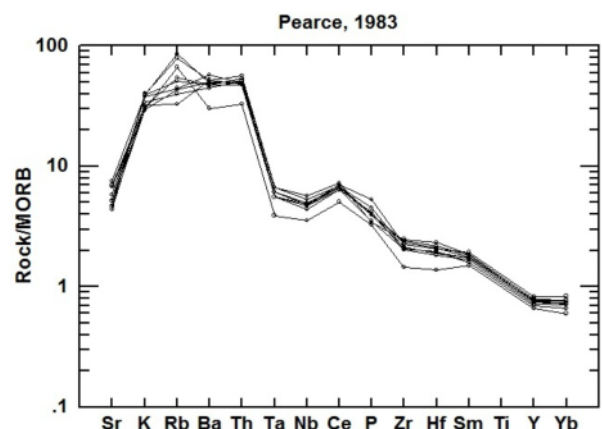
شکل ۷ نمودار سه تایی  $TiO_2/100 - La - Hf \times 10$  برای جدا کردن کمان‌های اقیانوسی از کمان‌های قاره‌ای و کمان‌های پس از برخورد [۲۶].

[۲۷]. ماقمای تشکیل دهنده سنگ‌های آتشفسانی در مناطق فرورانش معمولاً از گوه گوشتیهای، شاره‌های و ماقماهای آبدار مشتق شده از پوسته‌ی اقیانوسی فرورو ریشه می‌گیرند [۱]. نسبت بالای Ba/Th اشاره به تأثیر رسوب‌های در ژنز ماقما دارد [۳۴]. در سنگ‌های منطقه‌ی مورد بررسی نیز نسبت K<sub>2</sub>O تقریباً ثابت و زیاد است و نسبت Ba/Th در نمونه‌ها بالاست. هنگامی که پوشش رسوبی روی پوسته‌ی اقیانوسی فرورانده ذوب می‌شود، عناصر Sr, Ba از شاره‌های مشتق شده از رسوب‌های آبدار و پوسته‌ی اقیانوسی منتقل شده و ماقماهایی با Sr, Ba بالا تولید می‌کنند [۳۴]. برای محاسبه-ی میزان ذوب بخشی در این گوه‌ی اقیانوسی از نمودار La/Sm نسبت به La از [۳۵] استفاده می‌کنیم (شکل ۱۱). از مقایسه‌ی ترکیب گذاره‌ها با ترکیب ماقماهای ریشه گرفته از ذوب لرزولیت‌های اسپینل یا گارنت‌دار، می‌توان به درجه‌ی ذوب بخشی و ماهیت گوشتی خاستگاه آن‌ها پی برد. نمونه‌های مورد بررسی از نظر فراوانی عناصر Sm, La ترکیب مشابهی با ماقماهای مشتق شده از گوشتی غنی شده را دارند و روی روند همخوان با حدود ۶ تا ۴ درصد ذوب بخشی گارنت لرزولیت قرار می‌گیرند. برای اثبات ریشه گرفتن ماقماهای سنگ‌های مورد بررسی از گوشتی غنی شده، از نمودارهای Zr/Y نسبت به Zr استفاده شد که تمامی نمونه‌ها در گستره‌ی گوشتی غنی شده و قرار گرفته‌اند (شکل ۱۲).

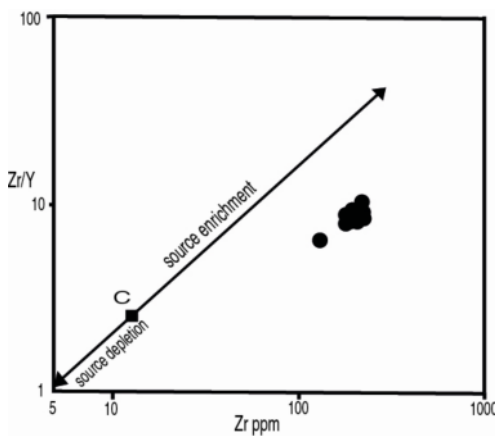


شکل ۱۰ روندهای الگوهای عناصر REE در نمونه‌های مورد بررسی که نسبت به گوشتی اولیه بهنجار شده‌اند [۳۳].

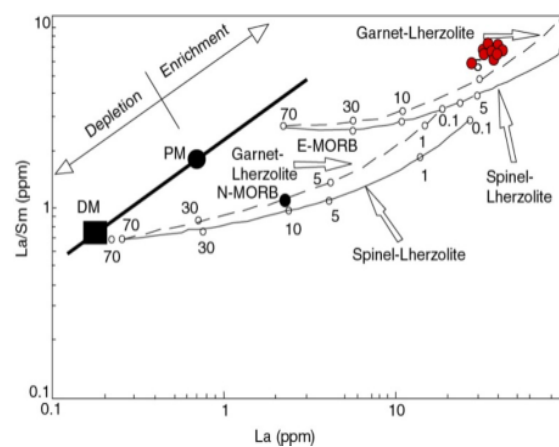
الگوی عناصر کمیاب بهنجار شده به گوشتی اولیه و MORB نشان می‌دهد که از LILE (مانند Th, Ba) و HFSE نسبت به HREE غنی شده‌اند و بیهنجاری-های منفی Ti, Nb نشان دهنده تأثیر آلایش پوسته‌ای در آنهاست (شکل‌های ۹ و ۱۰). در این نمودارها عناصر Cs, U, K, Rb, Ba, Th غنی شدگی نشان می‌دهند. در حالیکه عناصری مانند Ta, Nb غنی شدگی تهی شدگی هستند. غنی شدگی Ba, Pb در نمونه‌های بهنجار شده به گوشتی اولیه در گیری لیتوسفر زیر قاره‌ای در خاستگاه ماقما را نشان می‌دهد [۲۷]. نمونه‌ها نیز به طور مشخصی غنی شدگی از عناصر HFSE (مثلًا LILE (U, Ba) و تهی شدگی از عناصر NB (Nb) را نشان می‌دهند. این تهی شدگی‌ها و غنی شدگی‌ها مشابه با روندهای مشاهده شده در مورد پوسته‌ی قاره‌ای است [۲۸]. از طرف دیگر، غنی شدگی عناصر ناسازگار K و Rb و بیهنجاری منفی Ti, Nb در این سنگ‌ها بیشتر با ماقماهای حاصل از پوسته‌ی زیرین سازگار است [۲۹]. بیهنجاری منفی Nb شاخص سنگ‌های قاره‌ای و بیانگر مشارکت پوسته در فرآیندهای ماقمایی است [۳۰-۳۲]. غلظت (Eu, Sr, Ba, K, Ti, Zr, Y, Th, La, Ce) HFSE به لایه‌ی شیمی سنگ خاستگاه کنترل می‌شود و با در نظر گرفتن تحرک عناصر LILE و تمرکز آن‌ها در پوسته‌ی قاره‌ای، غلظت آن‌ها در ماقمای خاستگاه آلایش پوسته‌ای است.



شکل ۹ روندهای الگوهای عناصر REE در نمونه‌های مورد بررسی که نسبت به MORB بهنجار شده‌اند [۲۳].



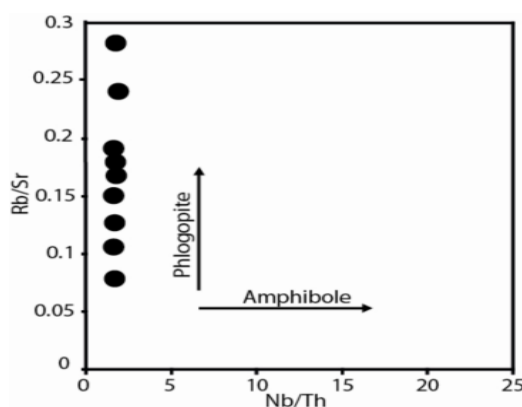
شکل ۱۲ نمودار  $Zr/Y$  به متری زری برای گوشه‌تهی غنی از گوشه‌تهی شده [۳۶].



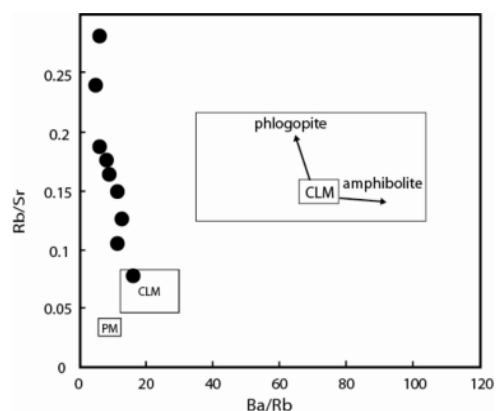
شکل ۱۱ نمودار  $La/Sm$  به منظور محاسبه میزان ذوب بخشی [۳۵].

منطقه‌ی مورد بررسی، از نمودارهای نسبت عناصر  $Rb/Sr$  نسبت به  $Ba/Rb$  استفاده شد (شکل ۱۳). در شکل محل قرارگیری گوشه‌تهی اولیه و گوشه‌تهی لیتوسфер قاره‌ای (CLM) و مسیر تغییرات نسبت  $Rb/Sr$  و  $Ba/Rb$  که نشان دهنده فاز فلوگوپیت و آمفیبیول در خاستگاه است، نیز رسم شده است. در نمودار [۴۳] از نسبت عناصر  $Rb/Sr$  نسبت به  $Nb/Th$  استفاده شده است که روند تغییرات مشاهده شده‌ی حضور فاز فلوگوپیت را در خاستگاه نشان می‌دهد (شکل ۱۴). بنابراین فلوگوپیت را در محل خاستگاه نمونه‌های منطقه‌ی مورد بررسی، نمودارها، در محل خاستگاه نمونه‌های منطقه‌ی مورد بررسی، تنها فاز فلوگوپیت حضور دارد و نسبت پایین  $Ba/Rb$  و  $Nb/Th$  نشان دهنده عدم حضور فاز آمفیبیول در مکان خاستگاه است. حال با توجه به مشخص شدن تعادل ماقمای تشکیل دهنده نمونه‌های منطقه با یک خاستگاه حاوی فلوگوپیت، می‌توان از این پارامترها برای تشخیص فشار حین شکل‌گیری ماقما و در نتیجه عمق تشکیل آن بهره گرفت. آزمایش‌های انجام شده برای تجربی جهت تعیین گستره پایداری مجموعه‌های حاوی فلوگوپیت، نشان دهنده، پایداری این فاز در فشارهای نزدیک به ۳۰ تا ۳۵ کیلومتر، یعنی اعماق ۹۰ تا ۱۰۰ کیلومتر است [۴۶-۴۹]. با توجه به آنچه گفته شد، ماقمای خاستگاه سنگ‌های منطقه احتمالاً از اعماق ۹۰-۱۰۰ کیلومتر از یک گوشه‌ی گارنت لرزولیتی شکل‌گرفته است. تشکیل ماقمای قلیایی در اثر درجه‌های پایین ذوب-بخشی، بیانگر مقادیر بالای کشش در این منطقه بوده است که این موضوع با طبیعت ماقماتیزم پس از برخورد این نمونه‌ها کاملاً سازگار است.

[۳۷] معتقد است که زون انتقال بین اسپینل لرزولیت به گارنت لرزولیت در عمق بین ۶۰ تا ۸۰ کیلومتری است و برخی دیگر اعتقاد دارند که این زون در عمق ۷۰ تا ۸۰ کیلومتری گوشه‌ی فوقانی قرار دارد [۳۸، ۳۹]. با توجه به اینکه این نمودار نشان دهنده‌ی حضور گارنت و عدم حضور اسپینل در خاستگاه سنگ‌های منطقه است، می‌توان حداقل عمق ریشه-گیری ماقمای تشکیل دهنده این سنگ‌ها را از اعماق بیشتر از ۸۰ کیلومتر دانست. بررسی‌های اقیانوسی نشان داده‌اند که آمفیبیول و یا فلوگوپیت می‌توانند به عنوان چشممهای برای تولید گدازه‌های قلیایی عمل کنند [۴۰، ۴۱]. برخی منابع حاوی آمفیبیول و فلوگوپیت نشان دهنده‌ی عملکرد دگرنهادی غنی از شاره‌ها و بخارهای پیش از ذوب این فازهایست و در برخی مواقع سرچشممهی غنی از آمفیبیول بازتاب دهنده‌ی دگرنهادی کربناتی است، در حالی که فراوانی فلوگوپیت مقدادر نسبتاً بالاتر  $H_2O/CO_2$  در عامل دگرنهاد کننده را نشان می‌دهد [۴۲، ۴۳].  $Rb$  در ترکیب فلوگوپیت سازگارند [۴۴] در حالی که  $Ba, Sr, Rb$  دارای سازگاری متوسطی در آمفیبیول هستند [۴۴، ۴۵]. از این ویژگی‌ها می‌توان برای تشخیص حضور یا عدم حضور این فازهای در خاستگاه استفاده کرد. ماقمای‌های در حال تعادل با فلوگوپیت دارای مقادیر بالای از نسبت  $Rb/Sr$  و مقادیر کمتر  $Ba/Rb$  نسبت به ماقمای‌های تشکیل شده از خاستگاه آمفیبیول دارند، همچنین ماقمای‌های ریشه‌گرفته از یک خاستگاه آمفیبیول داری حاوی مقادیر بسیار زیادی از  $Ba$  و نسبت بالای  $Ba/Rb$  هستند [۴۳]. به منظور تشخیص حضور یا عدم حضور فازهای آمفیبیول و فلوگوپیت در خاستگاه ماقمای



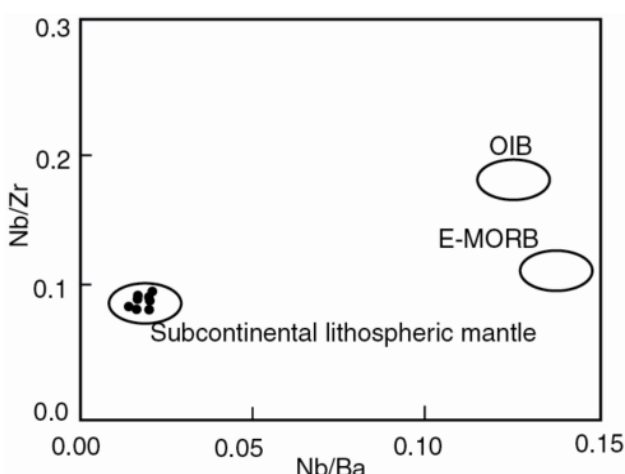
شکل ۱۴ نمودار  $\text{Rb}/\text{Sr}$  به نسبت به  $\text{Nb}/\text{Th}$  برای مشخص کردن حضور آمفیبیول یا فلوگوپیت در خاستگاه [۴۳].



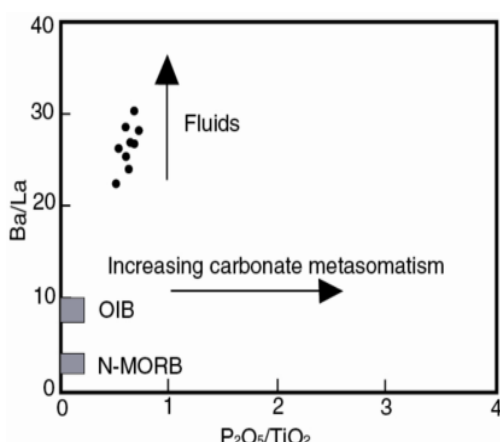
شکل ۱۳ نمودار  $\text{Rb}/\text{Sr}$  به نسبت به  $\text{Ba}/\text{Rb}$  برای تشخیص حضور آمفیبیول یا فلوگوپیت در خاستگاه [۴۳].

و تا دوره ائوسن و حتی کواترنری نیز ادامه یافته است. گوشه‌تۀ لیتوسفری که به وسیله شاره‌های دگرنهاد شده است از فرورانش ورقه نئوتیس در طول کرتاسه میانی تا بالایی در بخش شمالی زون سنندج-سیرجان به وجود آمده است [۶۴]. با ورود این ورقه‌ی اقیانوسی به گوشه‌تۀ کشیده شدن آن به اعماق باعث شده است که شاره‌های غنی از آب و مواد فرار که حاوی عناصر ناسازگار فراوانند آزاد شده و باعث دگرنهادی گوشه‌تۀ لیتوسفری بالایی خود شده‌اند. همچنین یک بیهنجاری گرمایی در عمق  $110\text{--}38$  کیلومتری شمال غرب کشور دیده می‌شود [۶۵]، که باعث شده است شاره‌های غنی از آب آزاد شده به سطح بالاتر گوشه‌تۀ لیتوسفری انتقال یابند و موجب دگرنهادی گوشه‌تۀ شوند و یک گوشه‌تۀ غنی از فلوگوپیت را ایجاد کند. برخورد این صفحات باهم باعث ضخیم شدگی پوسته در ایران مرکزی شده و این ضخیم شدگی پوسته موجب بالا رفتن منحنی زمین گرمایی در منطقه شده است. سرانجام وجود یک فاز کششی پس از برخورد و عملکرد سیستم گسلی منطقه برقوش باعث ذوب بخشی کم گوشه‌تۀ غنی از فلوگوپیت شده است. چون فلوگوپیت می‌تواند مقادیر بسیار زیادی از عناصر ناسازگار را در خود جمع کند، ذوب این گوشه‌تۀ غنی از فلوگوپیت، ماجمایی تولید می‌کند که غنی از پتاسیم، اشباع تا تحت اشباع از سیلیس و حاوی مقادیر بسیار زیادی از عناصر LILE است که این ماجمایا پس از سرد شدن سنگ‌های پتاسی منطقه را ایجاد کرده است و سرانجام فاز پیرنه در اوایل الیگوسن، منطقه‌ی مورد نظر را چین داده و زمین ریختی کنونی منطقه را به وجود آورده است.

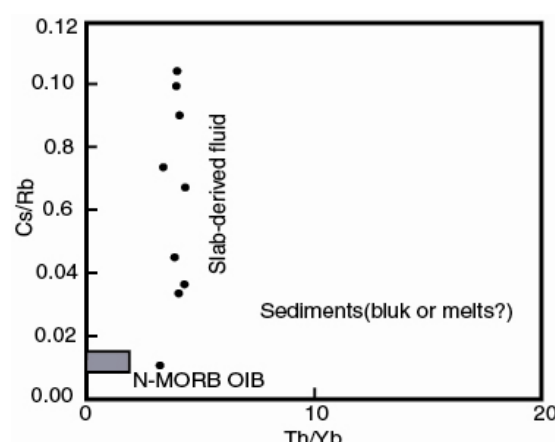
در نمودار ۱۵ نسبت به  $\text{Nb}/\text{Zr}$  نسبت به  $\text{Nb}/\text{Ba}$  نشان می‌دهد که سنگ‌های منطقه از گوشه‌تۀ لیتوسفری زیر قاره‌ای به وجود آمدند [۵۰-۵۱]. با استفاده از نمودار ۱۶ مشخص شد که ماجمای حاصل از شاره‌های جدا شده از ورقه‌ی فرو رونده، دارای نسبت بالاتری از  $\text{Cs}/\text{Rb}$  اند. غنی شدگی نسبتاً شدید همراه با  $\text{Rb}$  در سنگ‌های منطقه به دلیل تاثیر شاره‌های  $\text{Cs}$  غنی از  $\text{H}_2\text{O}$  جدا شده از ورقه‌ی فرو رونده است [۵۳-۵۱]. در این نمودار نیز روند شاره‌های جدا شده از ورقه‌ی فرو رونده مشاهده می‌شود. بالا بودن میزان  $\text{Ba}/\text{La}$  با میزان بالای  $\text{Ba}$  در سنگ‌های منطقه ممکن است به دلیل غنی شدگی در اثر سیالات تفرقی یافته از ورقه‌ی فرو رونده یا ماجمای باشد (شکل ۱۷) [۵۴-۵۵]. مقدار زیاد  $\text{Ba}$  را به حضور فلوگوپیت در خاستگاه گوشه نسبت داد. آزمایش‌های تجربی نشان می‌دهند که ماجمای‌های شوشاونیتی می‌توانند در اثر ذوب و افساری از خاستگاه گوشه‌تۀ دارای لرزولیت فلوگوپیت + پاراگاسیت جدا شوند [۵۶]. ماجمای‌های گوشه‌تۀ کربناتیتی می‌توانند  $\text{P}_2\text{O}_5$  از ورقه‌ی فرو رونده که دارای مقادیر بالایی از  $\text{P}$  است هضم و انتقال دهند [۵۷-۶۰] و نسبت بالای  $\text{P}_2\text{O}_5/\text{TiO}_2$  در سنگ می‌تواند بیانگر خاستگاه دگرنهادی شدید کربناتی در گوشه باشد، در صورتی که میزان بالای  $\text{Ba}/\text{La}$  اشاره به دگرنهادی ناشی از شاره‌های آبدار جدا شده از ورقه‌ی فرو رونده است [۵۴]. باز شدن دریای سرخ و خلیج عدن باعث همگرایی مایل بین صفحه‌ی عربی و خردۀ صفحه‌ی ایران و بسته شدن کامل نئوتیس شده است [۶۱-۶۳]. فعالیت‌های ماجمایی در کمان ماجمایی ارومیه-دختر (UDMA) در کرتاسه پسین شروع شده



شکل ۱۵ نمودار  $\text{Nb}/\text{Zr}$  نسبت به  $\text{Nb}/\text{Ba}$  نشان می‌دهد که سنگ‌های منطقه از گوشه‌ی لیتوسفری زیر قاره‌ای به وجود آمده‌اند [۵۰].



شکل ۱۷ نمودار  $\text{Ba}/\text{La}$  نسبت به  $\text{P}_2\text{O}_5/\text{TiO}_2$  نشان می‌دهد که ماغما از خاستگاه شاره‌ها ایجاد شده است [۵۴].



شکل ۱۶ نمودار  $\text{Cs}/\text{Rb}$  نسبت به  $\text{Th}/\text{Yb}$  نشان می‌دهد که ماغما از شاره‌های جدایشی از ورقه‌ی فرو رونده ایجاد شده است [۵۱].

جدایی است. همچنین مقایسه این نمودارها و الگوی تغییرات REE سنگ‌های منطقه با سنگ‌ها محیط‌های وابسته به کافی و محیط‌های فرورانش، یک محیط وابسته به فرورانش را برای سنگ‌های منطقه نشان می‌دهد. غنی‌شدگی سنگ‌های مورد بررسی از عناصر ناسازگار مانند  $\text{K}$ ,  $\text{U}$ ,  $\text{Ba}$ ,  $\text{Rb}$  و  $\text{Mg}^{\#}$  (عدد منیزیم) با وجود آلایش پوسته‌ای باشد. با داشت بیهنجاری منفی  $\text{Ta}$ ,  $\text{Nb}$  و  $\text{Ti}$  در نمونه‌های مورد بررسی با در نظر گرفتن فرورانش احتمالی در منطقه‌ی (فرورانش نئوتیس)، به احتمال زیاد غنی‌شدگی از عناصر ناسازگار نتیجه تاثیر فرورانش بر منابع گوشه‌های است. از نظر زمین ساختی سنگ‌های

#### برداشت

سنگ‌های آتشفسانی شمال‌غرب بزرگوار شامل تراکی‌آنزیت - فوئیدار، آندزیت است. بر اساس داده‌های ژئوشیمیایی عناصر اصلی و فرعی سنگ‌های یادشده از لحاظ سری ماغمایی جزء سری شوشنیتی قرار می‌گیرند. پایین بودن مقدار کرم، نیکل و عدد منیزیم ( $\text{Mg}^{\#}$ ) این سنگ‌ها نشان می‌دهد که سنگ‌های این منطقه از گوشه‌ی اولیه مشتق نشده‌اند و با توجه به نمودارهای ارائه شده از یک گوشه‌ی غنی‌شده در اثر دگرنهادی گوشه‌ای ریشه گرفته‌اند. موازی بودن الگوی تغییرات عناصر REE در منطقه، نشان از وابسته بودن این سنگ‌ها به تبلور

- [9] Duggen S., Hoernle K., Van Den Bogaard P., Garbe-Schoenberg D., "Post-collisional transition from subduction- to intraplate-type magmatism in the westernmost Mediterranean: evidence for continental-edge delamination of subcontinental lithosphere.", *J. Petrol.* 46, (2005) 1155–1201
- [10] Comin-Chiaromonti P., Meriani S., Mosca R., Sinigoi S., "On the occurrence of analcime in the northeastern Azerbaijan volcanics (northwestern Iran).", (1979)
- [11] Lescuyer J. L., Riou R., "Geologie de la region de Mianeh (Azerbaijan): contribution a l'étude du volcanism tertiaire de l'Iran. These 3 cycle", Grenoble, France (1976).
- [12] Riou R., Dupuy C., Dostal J., "Geochemistry of coexisting alkaline and calc-alkaline volcanic rocks from northern Azerbaijan (N.W. Iran): Journal of Volcanology and Geothermal Research", 11, (1981) 253-275.
- [13] Didon G., Gemain Y. M., Le Sabalan, "Vulcan Plio-Quaternaire de l'Azerbaijan Oriental (Iran): Etude géologique et pétrographique de l'édifice et de son environnement régional. These 3 cycle", Grenoble, France (1976).
- [14] Pearce T.H., "Analcime phenocrysts in igneous rocks: Primary or secondary? Discussion. American Mineralogist.", *Mineral.* 78, (1993) 225-229.
- [15] Karlsson H. R., Clayton R. N., "Analcime phenocrystisis in igneous rocks. Genesis and Evolution (ed. K. Bell)", Unwin Hyman, London, (1991) pp 70-88.
- [16] O'Brien H.E., Irving A.J., McCallum I.S., "Complex zoning and resorption of phenocrysts in mixed potassic magmas of the Highwood Mountains province", Montana. *American Mineralogist.* 73, (1988) 1007-1024.
- [17] Luhr J. F., Kyser T. K., "Primary igneous analcime: the Colombia minettes.", *American Mineralogist*, 74, (1989) 219-223.
- [18] Keith T. E. C., Thompson J. M., Mays R. E., "Selective concentration of cesium in analcime during hydrothermal alteration, Yellowstone national Park, Wyoming", *Geochemical ET Cosmochimica Acta*, 47 (1983) pp 495-804.

منطقه‌ی مورد بررسی به محیط قوس آتششانی پس از برخوردن.

#### قدرتانی

از آقای دکتر موزن به خاطر ارائه راهنمایی‌ها و نقطه نظرات ارزنده در انجام این پژوهش کمال تشکر و قدردانی را داریم.

#### مراجع

- [1] Pearce J. A., Peate D. W., "Tectonic implications of the composition of Volcanic arc Magmas.", *Ann. Rev. Earth plan. Sci.* 23: (1995) 251-282.
- [2] Hawkesworth C.J., Gallagher K., Hergt J.M., McDermott F., "Mantle and slab contributions in arc magmas. Ann.", *Rev. Earth Sci.* 21, (1993) 175–204.
- [3] Turner S., Arnaud N., Liu J., Rogers N., Hawkesworth C., Harris N., Kelley S., van Calsteren P., Deng W., "Postcollision, shoshonitic volcanism on the Tibetan plateau: implications for convective thinning of the lithosphere and source of ocean island basalts.", *J. Petrol.* 37, (1996) 45–71.
- [4] Benito R., Lopez-Ruiz J., Cebria J.M., Hertogen J., Doblas M., Oyarzun R., Demaiffe D., "Sr and O isotope constraints on source and crustal contamination in the High-K calc-alkaline and shoshonitic Neogene volcanic rocks of SE Spain. *Lithos*" 46, (1999) 733–802.
- [5] Turner S., Platt J.P., George R.M.M., Kelley S.P., Pearson D.G., Nowell G.M., "Magmatism associated with orogenic collapse of the Betic-Alboran Domain", SE Spain. *J. Petrol.* 40, (1999) 1011–1036.
- [6] Wilson M., Downes H., "Tertiary–Quaternary extension-related alkaline magmatism in Western and Central Europe.", *J. Petrol.* 32, (1991) 811–849.
- [7] Granet M., Wilson M., Achauer U., "Imaging a mantle plume beneath the French Massif Central.", *Earth Planet. Sci. Lett.* 136, (1995) 281–296.
- [8] Hoernle K., Zhang Y.S., Graham D., "Seismic and geochemical evidence for large-scale mantle upwelling beneath the eastern Atlantic and western central Europe.", *Nature* 374, (1995) 34–39.

- Crust , Treatise on Geochemistry, Elsevier, (2003) 1–64.
- [29] Chappell B. W, A. J. R. White, "Restite enclaves and the restite model", In : J. Didier , B . Barbarin , (Eds.,) Enclaves and granite Petrology , Elsevier Science Publisher B . V, Amsterdam (1991) 375 - 381
- [30] Saunders A.D., Storey M., Kent R.W., Norry M.J., "Consequences of plume–lithosphere interactions. In: Storey, B.C., Alabaster, T., Pankhurst, R.J. (Eds.), Magmatism and the Causes of Continental Break-up.", Geological Society London Special Publication, 68, (1992) pp. 41–60.
- [31] Kent R ., "Continental and oceanic flood basalt provinces: current and future perspective. In: srivastava, R. K., Canada, R. (Eds.), magmatism in Relation to Diverse Tectonic setting", A. A. Balkema, Rotterdam, (1995) PP 17-42.
- [32] Nagudi N., Koberl ch., Kurat G., "Petrography and Geochemistry of the sigo granite, Uganda and implications for origin", Journal of African earth Sciences, 36 (2003). PP. 1-14.
- [33] Sun S.S., McDonough W.F., "Chemical and isotopic systematic of ocean basalts: implications for mantle composition and processes. In: Saunders, A.D., Norry, M.J. (Eds.), Magmatism in Ocean Basins.", Geological Society of London Special Publication, vol. 42, (1989) pp. 313–345.
- [34] Morta D., Aguirre L., "Extensional lower Cretaceous volcanism in the Coastal Range (29, 20-305)", Chile: geochemistry and petrogenesis. J. Soth Amer. Earth Science, 16 (2003) 459-476.
- [35] Aldanmaz E., Pearce J. A., Thirlwall M. F., Mitchell J. G., "Petrogenetic evolution of late Cenozoic, post-collision volcanism in western Anatolia, Turkey", J. Volcanology and Geothermal Research. 102, ( 2000) 67-95.
- [36] Pearce J. A., Norry M. J., "Petrogenetic implications of Ti, Zr, Y and Nb variations in volcanic rock. Contributions to Mineralogy and Petrology.", Vol 69 (1979), Pp 33-47.
- [37] Ellam R. M., "Lithospheric as a control on basalt geochemistry.", Geology 20, (1992) 153-156.
- [19] Prelevic D., foley S. F., Lvetkonic V, Romer R. L., "The analcime problem and its impact on the geochemistry of ultra potassic rocks from Serbia", Mineralogical Magazine, Vol 68(4), (2004). PP. 633-648.
- [20] Le Bas M.J., Maitre R.W., Streckeisen A., Zanettin B., "A chemical classification of volcanic rocks based on the total alkali silica diagram.", Journal of Petrology 27, (1986) 745–750.
- [21] Pearce J. A., "Trace element characteristics of lavas from destructive plate boundaries. In Andesites: Orogenic Andesites and Related Rocks", Chichester: Wiley. ed. RS Thorpe, (1982) pp 525-48.
- [22] Wilson M., "Igneous petrogenesis a global tectonic approach Unwin Hyman", London (1989).
- [23] Pearce J.A., "Role of the sub-continental lithosphere in magma genesis at active continental margins.", In: Hawkesworth, C.J., Norry, M.J. (Eds.), Continental Basalts and Mantle Xenoliths. Shiva, Nantwich, (1983) pp. 230–249.
- [24] Lin P N., Stern R J., Blomar S. H., "Shoshonitic volcanism in the northern Marian arc, LILE and REE abundances evidence for the source of incompatible elements in intera oceanic arc", Journal of Geophysical Research. 94. (1989) 4497 - 4514.
- [25] Thompson R. N., Fowler M. B., "Subdaction related shoshonitic and ultra potassic magmatism. A study of siluro – Ordovician syenites, from the Scottish Caledhids", Contributions to Mineralogy and Petrology, 94, (1986) 501-522.
- [26] Muller D., Rock N.M.S., Groves D. I., "Geochemical discrimination between shoshonilic and po tassic volcanic rocks from different tectonic settings: a pilot study. Mineralogy and Petrology", 46 (1992) pp 259-289.
- [27] Borisova A. Y., Belyaskty B. V., Portnyagin M. V., Sushchevskaya N. M., "Petrogenesis of olivine – phryic basalts from the Aphanasey Nikitin rise: Evidence for contamination by cratonic lower continental crust.", Journal of Petrology. Vol. 42. Num. 2. (2001) PP. 277-316.
- [28] Rudnick R. L, S. Gao, "Composition of the continental crust. In: R. L. Rudnick, (Ed.)", The

- rifted continental plate. In: Kampunzu, A. B., Lubala, R. T. – Eds.", *Magmatism in Extentional Structural Setting: the Phanerozoic African Plate* Springer, Berlin, (1991) pp. 23-27.
- [49] Sato K., Katsura Ito E., "Phase relations of natural phlogopite with and without enstatite up to 8 Gpa: implications for mantle metasomatism.", *Earth and Planetary Science Letters* 164. (1997) 511-526.
- [50] Hooper P.R., Hawkesworth C.J., "Isotopic and geochemical constraints on the origin and evolution of the Columbia River Basalts.", *Journal of Petrology*. 34, (1993) 1203– 1246.
- [51] Sun C.-H., Stern R., "Genesis of Mariana shoshonites: contribution of the subduction component.", *Journal of Geophysical Research* 106, (2001) 589– 608.
- [52] Altherr R., Henes-Klaiber U., Hegner E., Satir M., Langer C., "Plutonism in the Variscan odenwald (Germany): from subduction to collision.", *International Journal of Earth Sciences* 88, (1999) 422– 443.
- [53] Melzer S., Wunder B., "Island-arc basalt alkali ratios: constraints from phengite-fluid partitioning experiments.", *Geology* 28, (2000) 583– 586.
- [54] Andersson U.B., Eklund O., Frojdo S., Konopelko D., "1.8 Ga magmatism in the Fennoscandian Shield; lateral variations in subcontinental mantle enrichment", *Lithos* 86 (2006) 110–136.
- [55] O'Brien H.E., Irving A.J., McCallum I.S., Thirlwall M.F., "Strontium, neodymium, and lead isotopic evidence for the interaction of post-subduction asthenospheric potassic mafic magmas of the Highwood Mountains, Montana, USA, with ancient Wyoming craton lithospheric mantle.", *Geochim. Cosmochim. Acta* 59, (1995) 4539– 4556.
- [56] Conceic R.V, Green D.H., "Derivation of potassic (shoshonitic) magmas by decompression melting of phlogopite + pargasite lherzolite", *Lithos* 72 (2004) 209– 229.
- [57] Green D.H., Wallace M.R., "Mantle metasomatism by ephemeral carbonatite melts.", *Nature* 336, (1988) 459– 462.
- [38] Frey F. A., Garcian M. O., Wise W. S., Kennedy A., Gurriet P. A., Albarede F., "the evolution of Mauna Kea volcano, Hawaii: petrogenesis of theoleitic and alkalic basalts.", *Journal of Geophysical Research* 96, (1991) 14347-14375.
- [39] Mckenzie D. P. O'Nions R. K., "Partial melt distribution from inversion of rare earth element concentration", *Petrology*. 32, (1991) 1021-1091.
- [40] Sun S. S., Hanson G. N., "Evolution of the mantle: geochemical evidence from alkali basalt", *Geology* 3, (1945) 297-302.
- [41] Clague D. A., Frey F. A., "Petrology and trace element geochemistry of the Honolulu Volcanics, Oahu: Implications for the oceanic mantle below Hawaii", I. *Petrology* 23, (1982) 447-504.
- [42] Class C., Goldstein S.L., "Plume-lithosphere interactions in the ocean basins: constraints from the source mineralogy.", *Earth and Planetary Science Letters* 150, (1997) 245– 260.
- [43] Furman T., Graham D., "Erosion of lithospheric mantle beneath the East African Rift system: geochemical evidence from the Kiluvu volcanic province.", *Lithos* 48 (1999) 237-262.
- [44] LaTourette, T., Hervig R.L., Holloway J.R., "Trace element partitioning between amphibole, phlogopite, and basanite melt.", *Earth and Planetary Science Letters* 135 (1995), 13–30.
- [45] Adam J.H., Green T. H., Sie S.H., "Proton microprobe determined Partitioning of Rb, Sr, Ba, Y, Zr, Nb and Ta between experimentally produced amphiboles and silicate melts with variable F content. *Chemical Geology*.", 109, (1993) 29-49.
- [46] Olasson M.J., Elggler D.H., "phase relations of amphibole, amphibole carbonate and phlogopite- carbonate peridotite: petrological constraints on the asthenosphere", *Earth and Planetary Science Letters* 64(1983) 305-315.
- [47] Wallace M. E., Green D. H., "An experimental determination of primary carbonatite composition.", *Nature* 335. (1988) 343-345.
- [48] Loyd F. E., Huntingdon A. T., Davies G. R., Nixon P. H., "Phanerozoic volcanism of southwesc Uganda: a case for regional K and LILE enrichment of the lithosphere beneath a domed and

- [62] Hempton M.R., "Constraints on Arabian plate motion and extensional history of the Red Sea." *Tectonics* 6, (1987) 687–705.
- [63] Guiraud R., Bosworth W., "Phanerozoic geodynamic evolution of northeastern Africa and northwestern Arabian platform." *Tectonophysics* 282 (1999) 39–82.
- [64] Azizi H., Jahangiri A., "Cretaceous subduction-related volcanism in the northern Sanandaj-Sirjan Zone", Iran, *Journal of Geodynamics* 45, (2008) PP. 178–190.
- [65] Anderson D . L., "Toshiro tanimoto and Yu-shen zhangt.", plate tectonics and hotspots : the third dimension . 25 pp , (1992) 1645 – 1651.
- [58] Barker M.B., Wyllie P.J., "High-pressure apatite solubility in carbonate-rich liquids: implications for mantle metasomatism. *Geochim.", Cosmochim. Acta* 56, (1992) 3409– 3422.
- [59] Rudnick R.L., McDonough W.F., Chappell B.W., "Carbonate metasomatism in the northern Tanzanian mantle: petrographic and geochemical characteristics.", *Earth and Planetary Science Letters* 114, (1993) 463– 475.
- [60] Wyllie P.J., "Experimental petrology of upper mantle materials, processes and products.", *Journal of Geodynamics* 20, (1995) 429– 468.
- [61] Bonatti E., "Oceanic evolution, rifting or drifting in the Red Sea." *Nature* 330 (1987) 692– 693.